

西松建設(株) 正員 ○条田 優男  
西松建設(株) 正員 吉村 和夫  
西松建設(株) 正員 古屋 满佐雄

## 1. 序論

トンネル掘削壁面を安定させるには、ロックboltが効果であることがいくつかの現場経験から明らかにされ、これらを組み立てて、ロックboltの作用効果についての研究がなされた。一方、現場ではロックboltの効果を判定するために軸力分布測定を実施しているが、測定結果と作用効果の関連性についての研究はまだ少ないようである。

筆者らは、ロックboltの作用効果を、ロックboltの軸力分布と壁面変位でとらえ、そのために板束型粘弾性モデルを用い、有限要素法による数値解析を行った。解析にあたり、ロックboltは地山要素とバネによって結合された構成要素と仮定した。

本論文では、これらのモデルによりロックboltの作用効果について検討し、粘弾性地盤におけるロックboltの効果の有効性について考察を加える。

## 2. 基礎方程式

解析に使用する粘弾性モデルは、図-1に示す通りである。このときの基礎方程式は以下の通りである。

$$\begin{bmatrix} \ddot{\epsilon} \\ \ddot{\epsilon} \\ \ddot{h} \end{bmatrix} = \begin{bmatrix} G_1 & -G_1 \\ -G_1 & G_1+G_2 \end{bmatrix} \begin{bmatrix} \ddot{\epsilon} \\ h \end{bmatrix} + \begin{bmatrix} 0 & 0 \\ 0 & C \end{bmatrix} \begin{bmatrix} \ddot{\epsilon} \\ h \end{bmatrix}$$

ここに、 $\ddot{\epsilon}$ ,  $\ddot{h}$ は $\epsilon$ ,  $h$ を各々時間で微分した値

又、ロックboltはラーメン部材と考え、地山とロックboltは図-2に示すバネ部材によって結合される。このときの基礎方程式は以下の通りである。

$$\begin{bmatrix} P_{xa} \\ P_{ya} \\ P_{xb} \\ P_{yb} \end{bmatrix} = \begin{bmatrix} A & B & -A & -B \\ B & C & -B & -C \\ -A & -B & A & B \\ -B & -C & B & C \end{bmatrix} \begin{bmatrix} X_a \\ Y_a \\ X_b \\ Y_b \end{bmatrix}$$

$$A = K_h \cos^2 \theta + K_v \sin^2 \theta$$

$$B = K_h \sin \theta \cos \theta - K_v \sin \theta \cos \theta$$

$$C = K_h \sin^2 \theta + K_v \cos^2 \theta$$

ここに  $P_x, P_y$ ; 軸力  $X, Y$ ; 部位変位

$K_h, K_v$ ; バネ定数

## 3. ロックboltに生ずる軸力および壁面変位について

初期軸力状態が静水圧  $P_0 = 300 \text{ t}/\text{m}$  である粘弾性岩盤内に、半径  $a =$

$2.5 \text{ m}$  の円形トンネルを掘削し、長さ  $l = 6.0 \text{ m}$  のロックboltを

$1.25 \text{ ピン} \times 4$  で設けたケース

について検討をくわえる。

地山とロックboltを結合するバネの分布を、(i) 長方形分布、(ii) 三角形分布(図-3参照)としたとき、ロックboltに生ずる軸力およびロックboltと地山の間に働く荷重分布を地山の変形係数によると

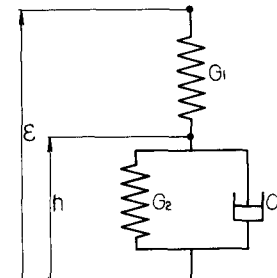


Fig. 1 Visco-Elastic Model

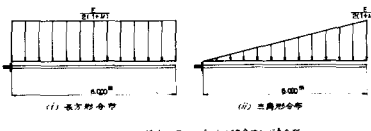


Fig. 3 地山とロックboltに生ずるバネ分布

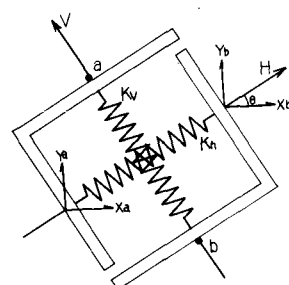


Fig. 2 Linkage Element

めのものが、図-4である。図-4より、バネ分布を長方形とした場合ボルト頭部において最大となる軸力分布を示し、一方バネ分布を三角形とした場合、ほどボルト中間部で最大となる軸力分布を示していることわかる。又、向着力の作用方向が変化する点(4, 4)は、バネ分布が長方形の場合の方がトンネル壁面に近い。

地山の変形係数を一定にし、バネ分布を三角形とし、ボアソン比を変化させた時のロックボルトに生ずる軸力、向着力、壁面変位を図-5に示す。図-5から、ボアソン比が大きくなると変形が小さくなり、点Aはトンネル壁面から遠くなることがわかる。

ロックボルトを打設した場合の壁面変位と、F設しない場合の壁面変位との比を、地山の変形係数をパラメータとして示したもののが図-6である。図-6より、バネ分布が長方形の場合、地山の変形係数が小さくなるほどその比は小さくなり、ロックボルトを打設した効果が増大するとか推察される。一方、バネ分布が三角形の場合、変形係数の大小に関係なく、その比は一定であり、しかもロックボルト打設の効果はほとんどない。

#### 4. ロックボルトの作用効果について

数値解析から得られた結果より、以下に示す特徴があらわされた。

a. 地山の変形係数が小さくなり、ボアソン比が大きくなるほど、ロックボルト打設による壁面変位に対する効果が大きい。

b. 地山とロックボルトを結合するバネ分布が長方形である方が、ロックボルトを有効に活用することができる。

地山の変形係数が小さく、ボアソン比が大きい状態では、岩盤が塑性域にあり塑性化した状態と考えられ、したがってロックボルトは塑性域にある岩盤に対して効果があることが推察される。又、地山とロックボルトとを結合するバネ分布が長方形であるという工学的意義は、できるだけ早期にロックボルトを打設すること、むち岩盤の強度を適切に利用することに外ならない。このよりは意味で、ロックボルトにプレストレスを導入することにより岩盤の強度を高め、利用する方法は、地山の安定にし、有効な工法しきえられる。

#### 5. おわりに

継続性モデルを復元し、有限要素法による数値解析により、ロックボルトは塑性域にある岩盤に対して効果があり、又早期に打設し岩盤の強度を高め利用することにより、その効果を増大するとか推察される。今後は定量的な面での効果についても研究したいと考えている。

#### 参考文献

川原 駿人「有限要素法による地盤解析」日本機械学会

#. N.G.O 「Finite Element Analysis of Reinforced Concrete Beams」 ACI J. MARCH 1967

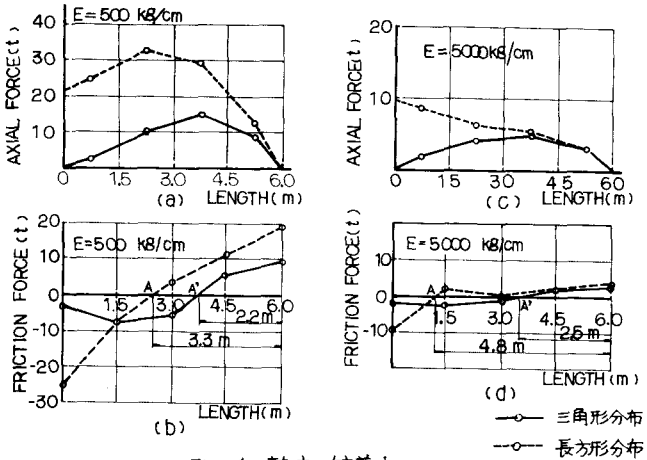


Fig. 4 軸力、付着力

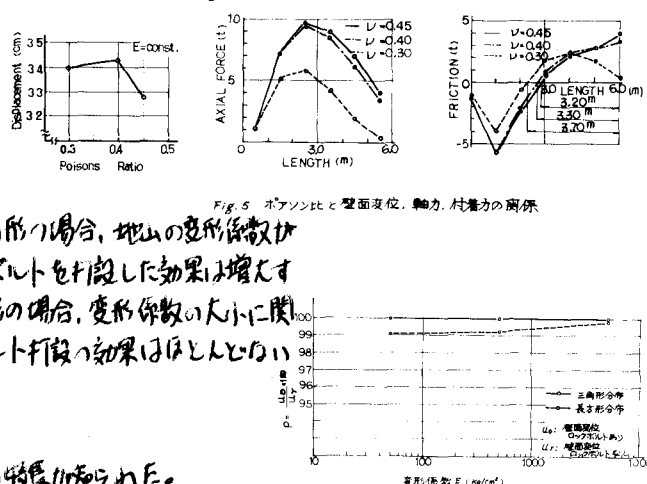


Fig. 5 ボアソン比と壁面変位、軸力、付着力の関係

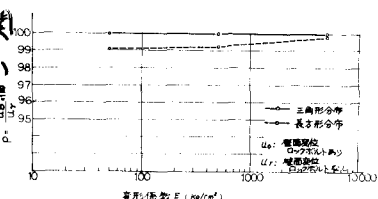


Fig. 6 変形係数E<sub>c</sub>(kg/cm<sup>2</sup>)と変形比との関係